

تعیین طیف خطر یکنواخت با توجه به اثرات حوزه

نزدیک برای گستره شهر تهران

محسن تهرانی زادهⁱ؛ مینو صیرفیان پورⁱⁱ

چکیده

طیف خطر یکنواخت روشی جدید و مفید برای دستیابی به طیف طراحی محسوب می‌شود که سطح اینمی مطلوب به صورت یکنواخت را در عملکرد سازه‌ها با زمانهای تناوب مختلف تامین می‌کند. در این تحقیق طیف طرح خطر یکنواخت برای گستره شهر تهران با در نظر گرفتن چشمehای لرزه زای سطحی و خطی در گستره طرح و با استفاده از تحلیل احتمالاتی خطر زمین لرزه و روابط کاهندگی طیفی تعیین شده است. از آنجا که ارتعاشات زمین در مناطق نزدیک به گسل باعث ایجاد خرابی‌های گسترده‌ای می‌شود، در این تحقیق علاوه بر روابط کاهندگی طیفی حوزه دور، با در نظر گرفتن روابط کاهندگی طیفی حوزه نزدیک اثرات نزدیکی ساختگاه به چشمeh لرزه زا، بررسی گردیده است.

نتایج حاصل از این روش در قالب طیفهای خطر یکنواخت و نقشه‌های شتاب حداقل زمین و شتاب طیفی در زمانهای تناوب مختلف ارائه شده است. با بکاربردن روش‌های تقریبی، طیف طرح خطر یکنواخت با استفاده از مقادیر میانگین شتاب طیفی در دو یا سه زمان تناوب کنترل کننده بدست آمده و با طیفهای پیشنهادی آیین نامه های ۲۸۰۰-۸۴ ایران و UBC97 مقایسه شده است.

کلمات کلیدی: تهران، طیف خطر یکنواخت، روابط کاهندگی طیفی، حوزه نزدیک، طیف طرح

Determination of Uniform Hazard Spectra With Respect to the Near Field Effects for Tehran Region

M. Tehranizade; M. Seirafian pour

ABSTRACT

Uniform hazard spectrum is a modern and effective method in achieving the design spectra that provide a uniform desirable safety level in performance of structures with different periods. In this study uniform hazard spectrum is determined for Tehran region considering the area and line seismic sources in the design area using the probabilistic analysis of seismic hazard and spectral attenuation relations. As the ground motions in nearby fault regions cause large damage, in this research the effects of site closeness to the seismic sources is taken into account considering near source spectral attenuation relations besides the far field attenuation ones.

The results gained by this method are presented in the form of uniform hazard spectrum, peak ground acceleration and spectral acceleration maps in different periods. Uniform hazard spectrum is obtained by applying approximate method using average values of spectral acceleration in two or three controlling periods and it is compared to the spectra suggested by UBC97 and Iranian 2800-84 codes.

KEYWORDS

Tehran, Uniform Hazard Spectra, Spectra Attenuation Relation, Near field, Design Spectra

تاریخ دریافت مقاله: ۱۳۸۵/۱۰/۲۶

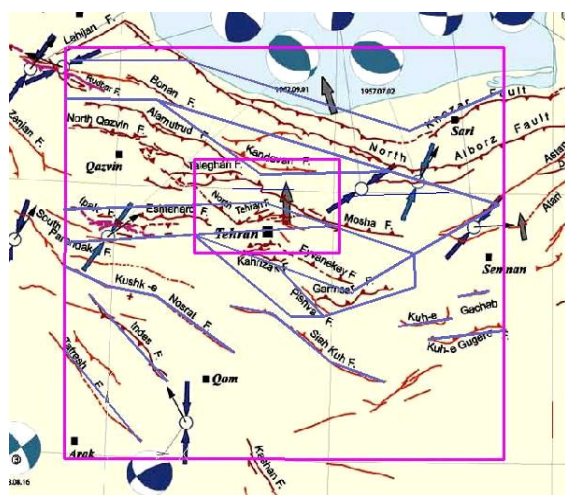
تاریخ اصلاحات مقاله: ۱۳۸۶/۱۲/۱

ⁱ نویسنده مسئول و استاد دانشکده مهندسی عمران و محیط زیست، دانشگاه صنعتی امیر کبیر، Email: tehz@govir.ir
ⁱⁱ کارشناس ارشد زلزله، دانشکده مهندسی عمران و محیط زیست، دانشگاه صنعتی امیر کبیر، Email: mseyrafian@yahoo.com

گسل به خوبی مشخص نیست و یا چندین گسل در نزدیکی هم قرار دارند، بگونه ای که امکان تفکیک زلزله های آنها وجود ندارد و یا در برخی موارد تجمع مراکز زلزله ها در مساحتی قرار دارد که نمی توان به قطعیت آنها را به گسل مشخصی نسبت داد.

از طرفی از آنجا که در این تحقیق اثرات حوزه نزدیک مورد بررسی قرار می گیرد، علاوه بر گسلهای اصلی گسلهای کوچک و فرعی نیزداری اهمیت می باشند. با در نظر گرفتن چشممه های سطحی می توان لرزه خیزی در ناحیه پیرامون گسلهای بزرگ را به چندین گسل کوچکتر نسبت داد. پس با در نظر گرفتن تعدادی از گسل های نزدیک به هم با سازوکار تقریباً یکسان در محدوده ای که بخشی از زمین لرزه های گذشته تجمع کرده اند به عنوان یک چشممه سطحی، می توان بخشی از گستره طرح که متعلق به ایالت لرزه زمین ساخت البرز-آذربایجان است را به ۷ پهنه تقسیم نمود بگونه ای که هر گسل در یک پهنه قرار گیرد. از آنجا که گسلهای موجود در بخشی از گستره طرح که متعلق به ایالت لرزه زمین ساخت مرکز-شرق است، تمایز و قابل تفکیک و مراکز زلزله های گذشته محدود و در نزدیکی گسل های مسیب است، می توان در این بخش از گستره طرح ۶ چشممه خطی تعریف نمود.

در شکل (۱) موقعیت و هندسه چشممه های لرزه زا بر روی نقشه گسل های تهران نشان داده شده است. با توجه به این شکل می توان گسل های موجود در هر چشممه لرزه زا را مطابق با جدول (۱) مشخص نمود.



شکل (۱): نمایش گستره طرح گستره تهران و چشممه های لرزه زا بر روی نقشه گسلهای فعال ایران

هدف از انجام این تحقیق بدست آوردن طیف طرح برای گستره شهر تهران با استفاده از طیفهای خطر یکنواخت و با در نظر گرفتن اثرات حوزه نزدیک است. بدین منظور با در نظر ۲۰۰ کیلومتر از مرکز گستره شهر تهران و شعاع ۱۰۰ کیلومتر برای نقاط مرزی و بررسی کاتالوگ زلزله های گذشته، چشممه های لرزه زا و پارامترهای لرزه خیزی مرتبط با آنها تعیین گردیده است. پس از آن گستره شهر تهران به شبکه ای از نقاط با فاصله ۲ کیلومتر تقسیم شده و در هریک از این نقاط به عنوان یک ساختگاه، تحلیل احتمالاتی خطر زمین لرزه به روش الگوریتم Green and Hall (۱۹۹۴) [۸] انجام شده است.

در این تحلیل با در نظر گرفتن کلیه چشممه های لرزه زای موجود در گستره طرح شامل چشممه های دور و نزدیک نسبت به ساختگاه، یک جفت رابطه کاهنگی طیفی (یکی مربوط به حوزه دور برای چشممه های لرزه زایی که در فاصله دور از ساختگاه و یکی مربوط به حوزه نزدیک برای چشممه های لرزه زایی که در فاصله نزدیک از ساختگاه قرار دارند) بطور همزمان بکاررفته است و در برخی نقاط به عنوان نمونه طیف خطر یکنواخت ترسیم شده است. با مقایسه طیف طرح خطر یکنواخت با احتمال خطر ۱۰٪ در ۵۰ سال با طیف طرح آبین نامه های استاندارد ۸۴-۲۸۰۰ ایران و ۹۷ UBC می توان به تفاوت های آنها پی برد.

۲- لرزه خیزی ولرزه زمین ساخت گستره طرح

در این تحقیق، گستره شهر تهران، محدوده ای بین ۵۰/۸ تا ۵۲/۱ درجه طول جغرافیایی و ۳۵/۵ تا ۳۶/۲ درجه عرض جغرافیایی و گستره طرح محدوده ای بین طولهای جغرافیایی ۴۹/۵ تا ۵۲/۵ و عرضهای جغرافیایی ۳۴ تا ۳۷ درجه تعریف شده است. گستره طرح، محدوده ای است که تمام عوامل لرزه زایی که ممکن است به گونه ای گستره شهر تهران را تحت تاثیر قرار دهد، در این ناحیه قرار گرفته اند. پس این محدوده از لحاظ سابقه لرزه خیزی و لرزه زمین ساختی مورد بررسی قرار می گیرد.

۱-۲- هندسه و موقعیت چشممه های لرزه زا

با توجه به مجموعه اطلاعات بدست آمده از لرزه زمین ساخت و لرزه خیزی گستره طرح، می توان هندسه و موقعیت چشممه های لرزه زا را تعیین نمود. در بسیاری از موارد هندسه



با این فرض که خصوصیات لرزه خیزی چشم‌هایی که در یک بخش قرار می‌گیرند تقریباً یکسان با خصوصیات لرزه خیزی بخش دربرگیرنده آنها است، می‌توان مقدار ضریب لرزه خیزی هر چشم‌های را برابر با ضریب لرزه خیزی بخش مربوطه دانست. نرخ فعالیت لرزی (v) در هر بخش که عبارت است از میانگین متوسط سالانه زلزله‌های بزرگتر یا مساوی با مقدار حداقل ($M=4$) به روش تقریبی مبتتنی بر طول گسل بین چشم‌های لرزه زا تقسیم می‌شود. با استفاده از روابط تجربی طول گسل، بیشینه بزرگای زلزله‌ای که هر چشم‌های لرزه زا قادر به تولید آن است برآورد می‌شود. نتایج بدست آمده برای پارامترهای لرزه خیزی چشم‌های لرزه زا در جدول (۱) ارائه شده است.

۳- بررسی اثرات حوزه نزدیک

معمولًا در حوزه نزدیک به گسل، حرکات زمین دارای پالسهای قوی با زمانهای تناوب بلند است. علت ایجاد این پالسها با زمان تناوب بلند عبارت است از [۵]:

- اثرات ناشی از جهت پذیری گسیختگی

- بازگشت الاستیک زمین به حالت اولیه (Fling-Step) میزان کاهندگی پالسهای حرکت زمین با زمان تناوب بلند ناشی از دلایل بیان شده در بالا، با یکدیگر متفاوت است. اثرات ناشی از جهت پذیری گسیختگی زمانی رخ می‌دهد که جهت گسیختگی به سمت ساختگاه مورد نظر بوده و راستای لغزش در صفحه گسل همراستا با گسیختگی باشد [۵] و بیشترین

۲-۴- پارامترهای لرزه خیزی چشم‌های

رابطه گوتبرگ- ریشرتر برای دوره بازگشت زمین لرزه ها به صورت رابطه (۱) نشان داده می‌شود [۱]:

$$\log(\lambda_M) = a - bM \quad (1)$$

که در آن λ_M ، میانگین سالانه زمین لرزه با بزرگای مساوی یا بزرگتر از بزرگای M است. در این تحقیق ضرایب a و b با استفاده از ترکیب داده های دستگاهی و تاریخی به روشنی مناسب و برمبنای ثبت تعداد مشاهدات، رسم نمودار تجمعی، تعیین سال کامل بودن کاتالوگ و در پایان تعداد متوسط سالیانه زلزله ها محاسبه گردیده است. نتایج حاصل از این روش سازگاری مناسبی را با روش کیکو^۱ نشان می‌دهد.

با توجه به اینکه اطلاعات و آمار زلزله های گذشته مربوط به هر چشم‌های برای برآورد پارامترهای لرزه خیزی مربوط به آن کافی نیست و این امر منجر به خطای زیاد در محاسبات می‌شود. پس پارامترهای لرزه خیزی برای مجموعه ای از چشم‌های لرزه زا که در یک ایالت لرزه زمین ساخت قرار دارند، با استفاده از مجموعه داده های مربوط به این چشم‌های محاسبه و پس از آن مقادیر مربوط به هر چشم‌های به روش تقریبی تخمین زده می‌شود. براین اساس چشم‌های سطحی که در ایالت لرزه زمین ساخت البرز- آذربایجان قرار دارند در یک بخش و چشم‌های خطی که در ایالت لرزه زمین ساخت مرکز- شرق هستند در بخش دوم قرار می‌گیرند و پارامترهای لرزه خیزی برای هر بخش محاسبه می‌شود. ضریب لرزه خیزی (β) بیانگر احتمال نسبی زمین لرزه های کوچک و بزرگ است.

جدول (۱): مشخصات و پارامترهای لرزه خیزی مربوط به چشم‌های لرزه زا

شناسه	نوع چشم‌های لرزه زا	گسلهای موجود در چشم	β	v	M_{max}
S1	سطحی	البرز، خزر، بنان	۱/۹۱۱	۰/۵۴۶	۸/۰۰
S2	سطحی	کندوان، بایجان، حصارچال	۱/۹۱۱	۰/۱۴۹	۷/۰۱
S3	سطحی	مشـا، شمال قزوین، الموت رود، طالقان	۱/۹۱۱	۰/۳۹۶	۷/۷۰
S4	سطحی	شمال تهران، اشتهراد، جنوب اشتهراد، ایپک	۱/۹۱۱	۰/۳۱۷	۷/۲۵
S5	سطحی	ایوانکی، ری، کهریزک، پارچین	۱/۹۱۱	۰/۲۱۷	۷/۱۶
S6	سطحی	گرمسار، پیشوـا	۱/۹۱۱	۰/۱۲۹	۷/۲۸
S7	سطحی	رباط کریم، آزاد	۱/۹۱۱	۰/۰۸۷	۷/۱۳
S8	خطی	کوه گچاب	۲/۰۰	۰/۰۴۶	۶/۷۰
S9	خطی	کوه گوگرد	۲/۰۰	۰/۰۵۶	۶/۸۰
S10	خطی	سیاه کوه	۲/۰۰	۰/۰۹۷	۷/۰۵
S11	خطی	کوشک نصرت	۲/۰۰	۰/۱۱۶	۷/۱۰
S12	خطی	ایندس	۲/۰۰	۰/۰۹۸	۷/۰۵
S13	خطی	تفرش	۲/۰۰	۰/۰۸۹	۷/۰۰

[۷] Campbell&Bozorgnia(2003) ۰ تا ۶۰ کیلومتر [۶] Campbell&Bozorgnia(2006) بیش ۶۰ کیلومتر

۵- نقشه های شتاب طیفی و طیف های خطر یکنواخت

برای بدست آوردن نقشه های شتاب طیفی، گستره شهر تهران به شیوه ای از نقاط با فاصله ۲ کیلومتر (۲۴۰ نقطه) تقسیم و در هر نقطه بعنوان یک ساختگاه نتایج حاصل از تحلیل خطر لرزه ای برآورد گردیده است. پس از آن نقاط هم شتاب با خطوط هموار به یکدیگر متصل شده و نقشه های شتاب طیفی بدست آمده است. نمونه ای از این نقشه ها در اشکال (۲) تا (۴) نشان داده شده است. برای بدست آوردن طیف خطر یکنواخت دریک نقطه مقادیر شتاب طیفی در زمانهای تناوب مختلف (بین صفر تا دو ثانیه) محاسبه و نمودار حاصل ترسیم گردیده است. نمونه ای از این طیفها برای سه نقطه از گستره تهران در شکل (۵) ارائه شده است.

۶- طیف طرح برای گستره شهر تهران

با استفاده از نقشه های شتاب طیفی می توان طیف خطر یکنواخت میانگینی به عنوان طیف طرح برای گستره شهر تهران ارائه و با طیف های پیشنهادی توسط آینین نامه طراحی ساختمان ها در برابر زلزله، استاندارد ۸۴-۲۸۰۰ و آینین نامه UBC ۹۷ مقایسه نمود. از آنجا که ارائه مقادیر شتاب طیفی در آینین نامه ها با استفاده از نقشه های پهنہ بندی و یا خطوط هم شتاب برای کلیه زمانهای تناوب دشوار و غیر کاربردی است، لازم است که تعداد زمانهای تناوب بکار رفته برای تعیین طیف طرح به دو و یا سه زمان تناوب محدود شود. این زمانهای تناوب کنترل کننده باید بگونه ای انتخاب شوند که نواحی مختلف طیفی را تحت پوشش قرار دهند. بدین منظور برای ساخت طیف با خطر یکنواخت در تمام زمانهای تناوب، حداقل دو پارامتر مورد نیاز است [۱۰].

محققین مختلف مقادیر دامنه طیفی در یک زمان تناوب کوتاه و یک زمان تناوب بلند را برای ترسیم طیف خطر یکنواخت پیشنهاد داده اند. در آینین نامه های ۲۰۰۰ IBC، NEHRP2000 و FEMA 356 زمانهای تناوب ۰/۲ و ۰/۱ ثانیه برای ترسیم طیف طرح خطر یکنواخت استفاده شده است [۱۰].

تأثیر آن بر روی مولفه عمود بر گسل است. اثرات ناشی از بازگشت الاستیک زمانی رخ می دهد که ساختگاه مورد نظر در نزدیکی یک گسل با گسیختگی سطحی قابل توجه قرار گرفته است. این اثر برروی مؤلفه موادی با راستای لغزش پلاریزه می شود. درگذشته بدلیل کمبود اطلاعات مناسب از حرکت زمین در فواصل نزدیک به چشممه لرزه زا، برای بدست آوردن روابط کاهنگی از رکوردهای ثبت شده در حوزه دور و یا متوسط استفاده می گردد. در دهه گذشته تعداد زیادی از رکوردهای زمین لرزه در فواصل نزدیک به زلزله های بزرگ به ثبت رسیده است. در نتیجه با بررسی و مطالعه بر روی این رکوردها، می توان روابط کاهنگی مخصوص حوزه نزدیک را بدست آورد.

در این تحقیق برای تعریفتابع چکالی احتمال فاصله، هر چشممه لرزه زا شامل سطحی و خطی به قطعات کوچک با مساحت مساوی تقسیم گردیده و فاصله مرکز هر قطعه تا ساختگاه سنجیده شده است، اگر این فاصله در محدوده حوزه نزدیک قرار گیرد از رابطه کاهنگی حوزه نزدیک و اگر در محدوده حوزه دور قرار گیرد از رابطه کاهنگی حوزه دور استفاده می شود. از آنجا که در این تحقیق ۲۴۰۰ نقطه در گستره شهر تهران به عنوان ساختگاه در نظر گرفته شده اند، هر گسل یا چشممه لرزه زا را نمی توان با قطعیت به حوزه نزدیک یا دور نسبت داد.

۴- روابط کاهنگی طیفی مناسب تهران

انتخاب رابطه کاهنگی باید از میان روابط تهیه شده برای منطقه مورد مطالعه یا هر رابطه متناسب با شرایط این منطقه، صورت گیرد. در این تحقیق از آنجا که بررسی اثرات نزدیکی چشممه لرزه زا به ساختگاه مد نظرمی باشد، علاوه بر شرایط ذکر شده از روابط کاهنگی استفاده شده که مؤلفین آنها روابطی را نیز برای حوزه نزدیک پیشنهاد داده اند. برای اساس سه جفت رابطه گاهنگی شتاب طیفی مختلف برای استفاده در تحلیل خطر لرزه ای انتخاب شده اند. شعاع مطالعه حوزه نزدیک و دور وابسته به رابطه کاهنگی مورد استفاده، متغیر است.

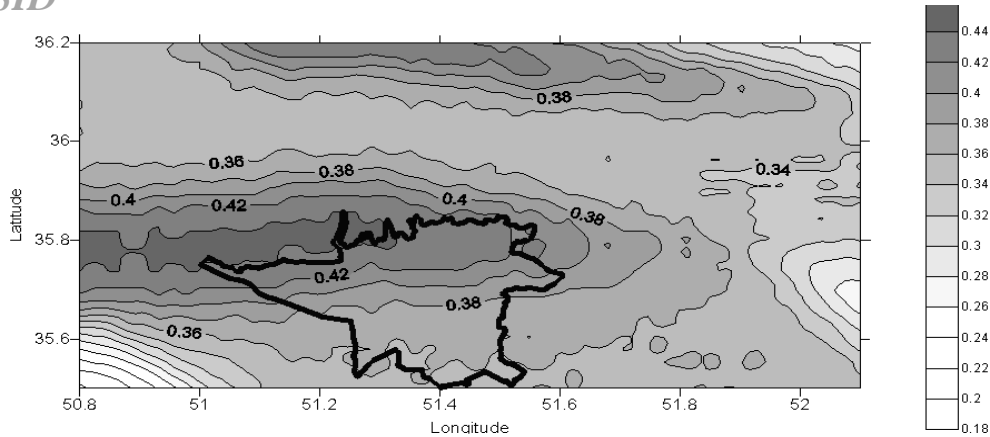
[۱] Ambraseys&Douglas(2003) ۰ تا ۱۵ کیلومتر

[۲] Ambraseysetal.(1996) بیش از ۱۵ کیلومتر [۳]

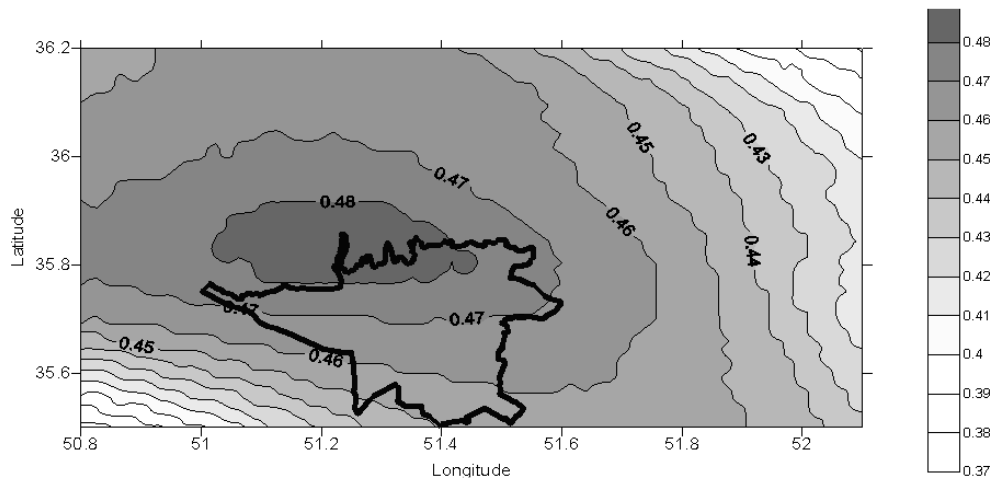
[۴] ۰ تا ۶۰ کیلومتر [۱۱] (۲) زارع و سبزعلی (۲۰۰۶)

[۵] بیش از ۶۰ کیلومتر [۱۹۹۹] (۱۹۹۹) زارع

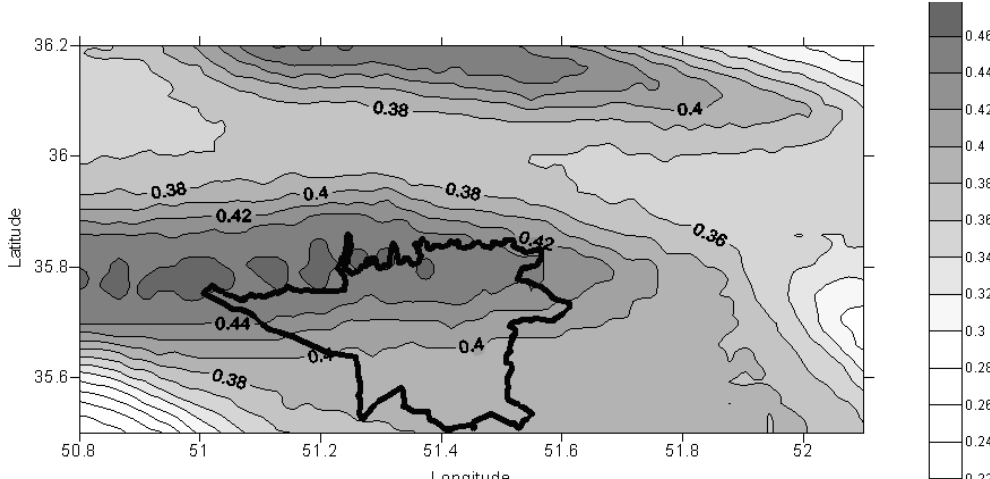




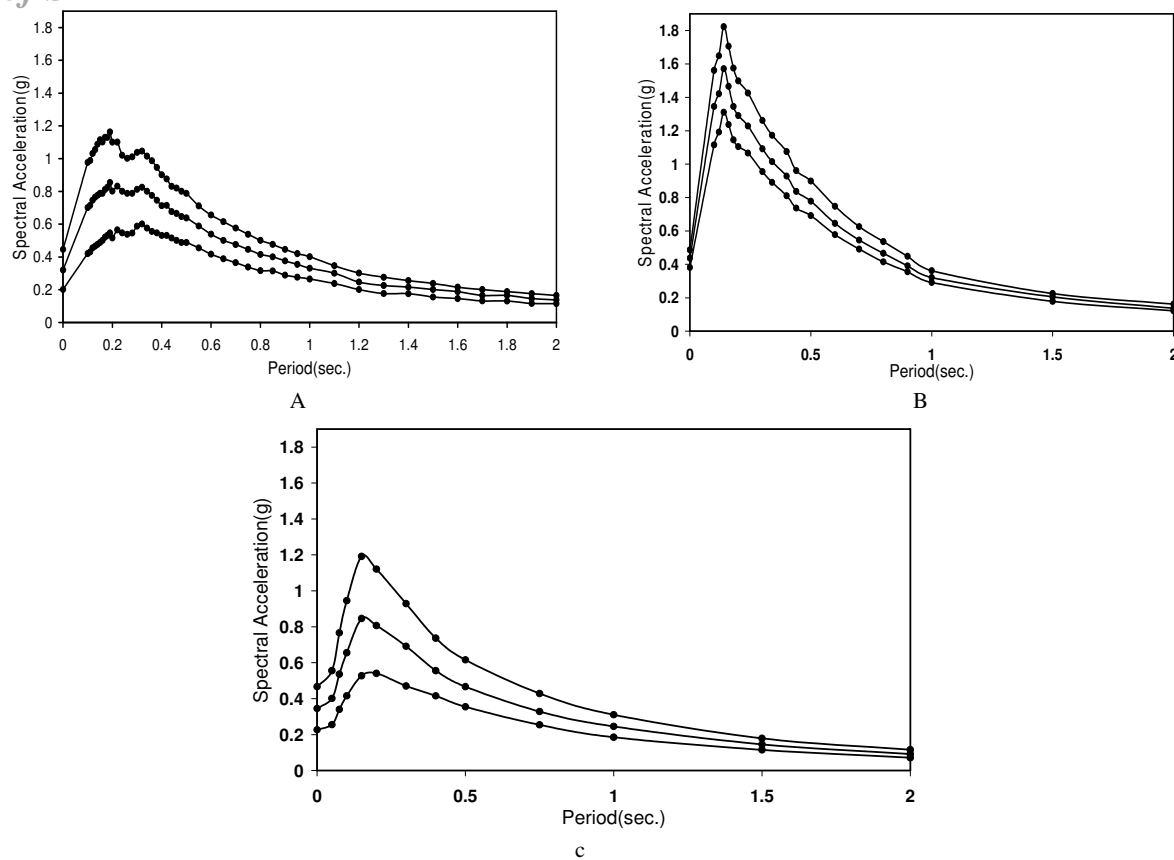
شکل(۲): نقشه شتاب افقی حداکثر زمین(PGA)^۱ یا شتاب طیفی در زمان تناوب صفر ثانیه(g)، با احتمال وقوع ۱۰٪ در طول ۵ سال و با استفاده از روابط کاهنگی Ambraseys et al.(1996, 2003)



شکل(۳): نقشه شتاب افقی حداقل زمین(PGA) یا شتاب طیفی در زمان تناوب صفر ثانیه(g)، با احتمال وقوع ۱۰٪ در طول ۵۰ سال و با استفاده از روابط کاهنگی زارع (۱۹۹۹، ۲۰۰۶)



شکل (۴) : نقشه شتاب افقی حداکثر زمین (PGA) یا شتاب طیفی در زمان تناوب صفر ثانیه (g)، با احتمال وقوع ۱۰٪ در طول ۵ سال و با استفاده از روابط کاهندگ، (2003 ، 2006 ، Campbell & Bozorgnia)



شکل (۵): طیفهای خطر یکنواخت افقی در سه نقطه با احتمال وقوع ۱۰ / ۵۰٪، ساختگاه سنگی، روابط کاوهندگی

Campbell-Bozorgnia(2003 , 2006) (c) (۱۹۹۹.۲۰۰۶) (b Ambraseys et al.(1996, 2003) (a

۶-۱- طیف طرح تقریبی دو پارامتری

$$\begin{aligned}
 RSA(T) &= F_A S_S (0.4 + 0.6(T/T_0)) & T < T_0 \\
 RSA(T) &= F_A S_S & T_0 < T < T_S \\
 RSA(T) &= F_A S_S / T & T < T_S \\
 \end{aligned} \tag{۲}$$

پارامتر های T_0 و T_S عبارتند از:

$$\begin{aligned}
 T_S &= F_V S_L / F_A S_S \\
 T_0 &= 0.2T_S
 \end{aligned} \tag{۳}$$

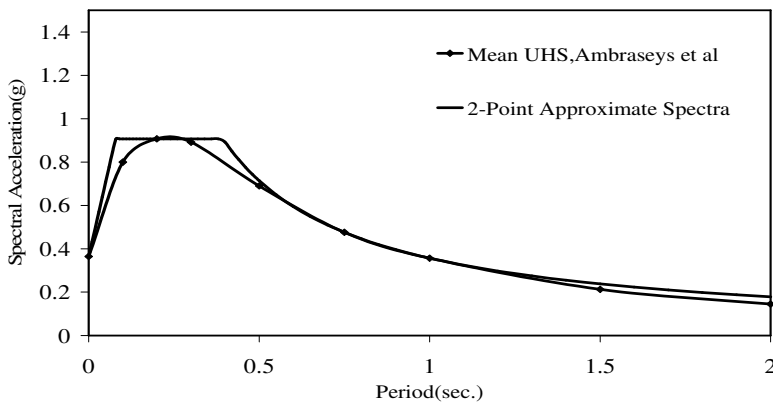
در این آینه نامه احتمال خطر در نظر گرفته شده برای طیف طرح معادل با ۲٪ در طول ۵۰ سال است و برای اهداف طراحی مقادیر دامنه های طیفی در ضرب ۲/۳ ضرب می شوند. با بکار بردن روش پیشنهادی توسط این آینه نامه می توان با استفاده از دو مقدار شتاب طیفی، طیف طرح مورد نظر را ترسیم نمود. برای بدست آوردن طیف طرح برای گستره شهر تهران از مقادیر شتاب طیفی بدست آمده برای نقاط مختلف گستره شهر تهران، در نقشه های شتاب طیفی میانگین گیری می شود. پس از آن برای ساخت طیف طرح دو پارامتری مقادیر متوسط شتاب طیفی در زمانهای تناوب ۰/۰ و ۱ ثانیه، با احتمال

در این تحقیق برای ساخت طیف طرح تقریبی دو پارامتری، روش بکار رفته در آینه نامه IBC 2000 مورد استفاده قرار گرفته است. در این آینه نامه، پارامترهای دوگانه که عبارتنداز دو مقدار شتاب طیفی در زمانهای تناوب کوتاه (۰/۰ ثانیه) و بلند (۰/۰ ثانیه) که از روی نقشه های شتاب طیفی USGS بدست می آیند، برای ساخت طیف طرح پیشنهاد شده اند. در این آینه نامه دو ضریب لرزه خیزی با نام های S_S و S_L که وابسته به زمانهای تناوب بلند و کوتاه هستند از روی نقشه های خطر لرزه ای آمریکا برای هر نقطه دلخواه بدست می آیند.علاوه بر آن دو ضریب F_A و F_V که وابسته به زمان تناوب هستند برای مدل کردن اثرات شرایط ساختگاهی بکار می روند؛ که در حالت شرایط ساختگاهی سنگ این ضرایب برابر با یک می باشند. با استفاده از مقادیر S_S و S_L می توان قسمت های مختلف طیف را بر حسب زمان تناوب و با توجه به روابط ارائه شده در آینه نامه بدست آورد [۹].



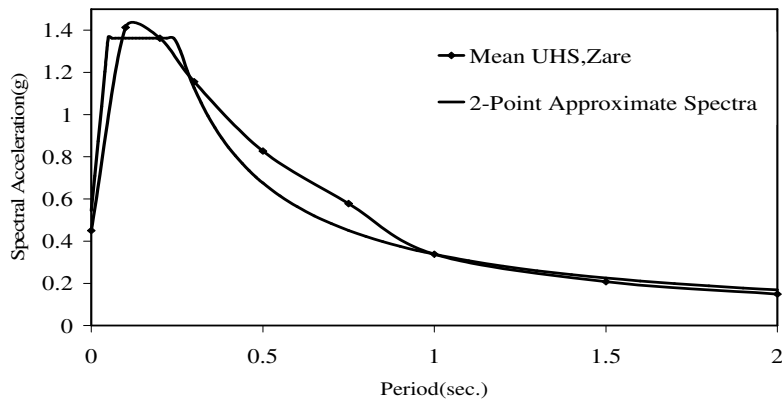
کاهندگی طیفی یاد شده، یک طیف طرح برابر با اشکال (۶) تا (۸) بدست می‌آید.

وقوع ۱۰٪ در طول ۵۰ سال و میرایی ۵٪ و شرایط ساختگاهی سنگ مدنظر قرار می‌گیرد و بدین صورت با استفاده از نتایج تحلیل احتمالاتی خطر زمین لرزه برای هر یک از روابط



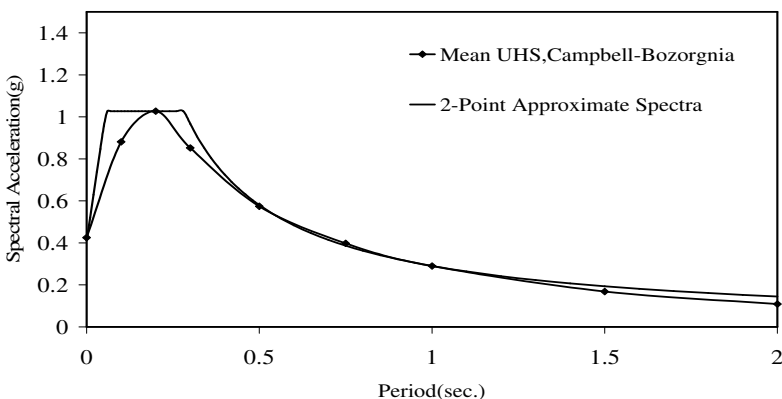
شکل (۶): طیف طرح دو پارامتری و طیف خطر یکنواخت افقی میانگین، با شرایط ساختگاهی سنگ

احتمال وقوع ۵۰ / ۱۰٪، میرایی ۵٪، روابط کاهندگی (Ambraseys et al., 1996, 2003)



شکل (۷): طیف طرح دو پارامتری و طیف خطر یکنواخت افقی میانگین، با شرایط ساختگاهی سنگ

احتمال وقوع ۵۰ / ۱۰٪، میرایی ۵٪، روابط کاهندگی زارع (۱۹۹۹, ۲۰۰۶)



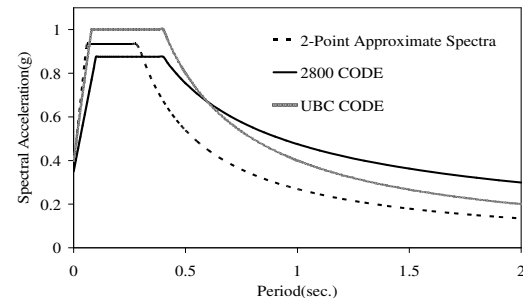
شکل (۸): طیف طرح دو پارامتری و طیف خطر یکنواخت افقی میانگین، با شرایط ساختگاهی سنگ

احتمال وقوع ۵۰ / ۱۰٪، میرایی ۵٪، روابط کاهندگی (Campbell & Bozorgnia, 2003, 2006)

همانطور که در شکل(۹) نشان داده شده طیف طرح خطر یکنواخت در زمانهای تناوب کوتاه دارای دامنه بزرگتر و در زمانهای تناوب متوسط و بلند دارای دامنه کوچکتری نسبت به طیف آبین نامه می باشد. علت افزایش دامنه طیفی در زمانهای تناوب کوتاه را می توان در نظر گرفتن اثرات حوزه نزدیک در برآورده مقداری شتاب دانست. در حالیکه اثرات حوزه نزدیک در افزایش مقداری شتاب طیفی در زمانهای تناوب بلند محدود به فوائل بسیار کوچک از چشممه با توان لرزه زایی بزرگ است. بنابراین از آنجا که در تحلیل احتمالاتی خطر زمین لرزه تأثیر چشممه های لرزه زا با فوائل و بزرگای مختلف، در ایجاد خطر در ساختگاه با روش احتمالاتی ترکیب می شوند، افزایش قابل توجهی در مقداری شتاب طیفی در زمانهای تناوب بلند با وجود در نظر گرفتن اثرات حوزه نزدیک، حاصل نمی شود. از طرفی مقیاس کردن طیف آبین نامه با استفاده از PGA در زمانهای تناوب متوسط و بلند که سرعت و تغییر مکان حاکم است باعث ایجاد عدم هماهنگی بین این طیف و طیف های خطر یکنواخت در زمانهای تناوب متوسط و بلند می شود.

۷- مقایسه و نتیجه گیری

در پایان می توان نتایج حاصل از این سه رابطه کاہنگی طیفی را به روش درخت منطق (Logic Tree) و با در نظر گرفتن وزن $\frac{1}{4}$ برای رابطه کاہنگی زارع و $\frac{1}{2}$ برای دو رابطه دیگر، ترکیب نمود. در شکل (۹) طیف طرح بدست آمده برای گستره شهر تهران به روش پارامترهای دوگانه و با ترکیب نتایج حاصل از سه رابطه کاہنگی طیفی به روش درخت منطق، ترسیم و با طیف پیشنهادی توسط آبین نامه های یاد شده مقایسه گردیده است.



شکل(۹): مقایسه طیف طرح تعیین شده در این پروژه و طیف پیشنهادی آبین نامه ها

۸- مراجع

- [۱] زارع، مهدی؛ مقدمه ای بر زلزله شناسی کاربردی، پژوهشگاه بین المللی زلزله شناسی و مهندسی زلزله، تهران، ویرایش دوم، ۱۳۸۴.
 - [۲] Ambraseys, N.N.; Douglas, J.; "Near-field horizontal and vertical earthquake ground motions", J.Soil Dynamics and Earthquake Engineering, vol. 23, p.p.1-18, 2003.
 - [۳] Ambraseys, N.N.; Simpson, K.A.; "Prediction of vertical response spectra in Europe", J.Earthquake Engineering and Structural Dynamics, vol. 25, p.p. 401-412, 1996.
 - [۴] Ambraseys, N.N.; Simpson, K.A.; Bommer, J.J.; "Prediction of horizontal response spectra in Europe", J.Earthquake Engineering and Structural Dynamics, vol. 25, p.p.401-412, 1996.
 - [۵] Bolt, B.A.; Abrahamson, N.A.; "Estimation of strong seismic ground motions", International Handbook of Earthquake and Engineering Seismology, vol. 81(B), p.p.983-1001, 2003.
 - [۶] Campbell, K.W.; Bozorgnia, Y.; "Campbell-Bozorgnia NGA empirical ground motion model for the average horizontal component of PGA, PGV and SA at selected spectral periods ranging from 0.01-10.0 seconds", Interim Report for USGS Review, 2006.
- Campbell, K.W.; Bozorgnia,Y.; "Updated near-source ground-Motion (attenuation) relations for the horizontal and vertical components of peak ground acceleration and acceleration response spectra", Bulletin of the Seismological Society of America, vol. 93(1), p.p.314-331, 2003.
- Green, R.A.; Hall, W.J.; "An overview of selected seismic hazard analysis methodologies", Structural Research Series Rep. No. UILU-ENG-94-2011, University of Illinois at Urbana-Champaign, Urbana, Illinois, 1994.
- IBC(2000); "International Building Code,2000", International Code Council, U.S.A., 2000.
- McGuire, R.K.; "Seismic design spectra and mapping procedures using hazard analysis based directly on oscillator response", J.Earthquake Engineering and Structural Dynamics,vol.5, p.p.211-234, 1977.
- Zare, M.; Sabzali, S.; "Spectral attenuation of strong Motions in Iran", Third International Symposium on the Effect of Surface Geology on Seismic Motion, France, Grenoble, 2006.

۹- زیرنویس ها

^۱ Kijko

^۲ Peak Ground Acceleration

